

- [4] Ю. В. Троицкий. Письма ЖТФ, 1, 200, 1975.  
 [5] В. К. Garside. IEEE J. Quant. El., 5, 97, 1969.  
 [6] W. E. Lamb. Phys. Rev., 134, A1429, 1964.  
 [7] Ф. А. Королев, В. М. Салимов, А. И. Одинцов. Радиотех. и электрон., 18, 209, 1973.  
 [8] В. В. Лебедева, А. И. Одинцов, В. М. Салимов. ЖТФ, 38, 1373, 1968.  
 [9] F. Gires, P. Tournois, C. R. Acad. Sc. Paris, 258, 6112, 1964.

Поступило в Редакцию 17 января 1977 г.

УДК 535.411

## СЛУЧАЙНЫЕ ДЕФЕКТЫ СРЕДЫ И ЗЕРКАЛ В ИНТЕРФЕРОМЕТРЕ ФАБРИ—ПЕРО

Т. Н. Сирая, А. Л. Эцин и И. Ш. Эцин

Распределение интенсивности в интерферометре Фабри—Перо выражается как [1]

$$I = I_0 \frac{T^2}{1 - (\tau R)^2} \left\{ 1 + 2 \sum_{k=1}^{\infty} G_k \cos 2k\pi \right\}, \quad (1)$$

где  $I_0$  — интенсивность падающего на интерферометр света;  $T, R$  — коэффициенты пропускания и отражения полупрозрачных зеркал;  $\tau$  — коэффициент пропускания среды;  $k$  — целое число;  $m = 2nh/\lambda$  — порядок интерференции;  $n$  — показатель преломления среды;  $h$  — расстояние между зеркалами;  $\lambda$  — длина волны света. Функция  $G_k$  зависит от формы контура спектральной линии и для гауссовского распределения имеет вид

$$G_k = (\tau R)^k \exp\left(-\frac{\pi^2 \mu^2 k^2}{4 \ln 2}\right),$$

где  $\mu = 2h\Delta c$  — доля порядка, соответствующая с шириней  $\Delta c$  (в волновых числах). Это распределение можно наблюдать в реальных условиях, когда оптическую длину пути луча  $nh$  можно считать постоянной для рабочего участка зеркала. В реальных устройствах имеются отклонения поверхности зеркал от плоскости (выпуклостеф-точки, царапины), связанные с несовершенством технологии их изготовления, а прозрачная среда между зеркалами может содержать микропомехи. При этом  $nh$ , а следовательно, и  $m$  меняются при переходе от одной точки зеркала к другой. Рассмотрим случай, когда оптическая длина пути луча является случайным образом. Предположим, что распределение гауссовское,  $m_0$  — среднее значение порядка интерференции, а среднее квадратическое отклонение  $m$  равно  $c_m < m_0$ . Тогда вероятность того, что значение порядка интерференции находится в интервале  $(m_0 + m_1, m_0 + m_1 + dm)$ , определяется как  $(1/\sqrt{\pi}c) \exp(-m_1^2/c^2) dm$ , где  $c = \sqrt{2}c_m$ . Усредненное по всей площади светового пучка значение  $I$  можно получить заменой в (1)  $m$  на сумму  $m_0 + m_1$  в последующим вычислением математического ожидания полученной функции

$$I = I_0 \frac{T^2}{1 - (\tau R)^2} \left\{ 1 + 2 \int_{-\infty}^{+\infty} \sum_{k=1}^{\infty} (\tau R)^k \exp\left(-\frac{\pi^2 \mu^2 k^2}{4 \ln 2}\right) \cos 2k\pi (m_0 + m_1) \times \right. \\ \left. \times \frac{1}{\sqrt{\pi}c} \exp\left(-\frac{m_1^2}{c^2}\right) dm_1 \right\}.$$

Отсюда, используя стандартный интеграл [2]

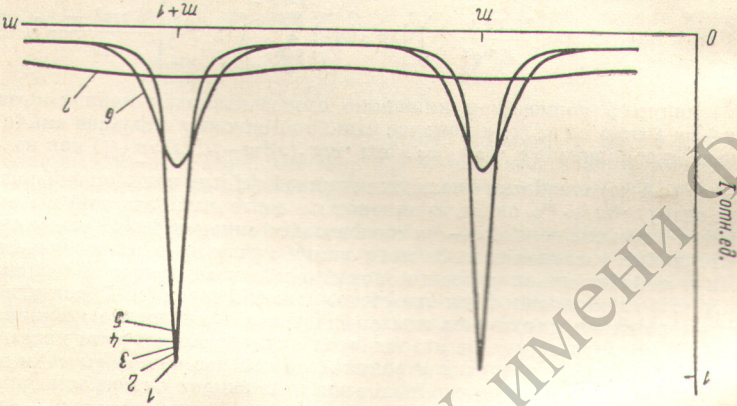
$$\int_{-\infty}^{+\infty} \exp(-g^2 y^2) \cos [p(y+a)] dy = \frac{\sqrt{\pi}}{g} \exp\left(-\frac{p^2}{4g^2}\right) \cos pa$$

и разложение в ряд для экспоненты, получаем

$$I = I_0 \frac{T^2}{1 - (\tau R)^2} \left\{ 1 + 2 \sum_{k=1}^{\infty} (\tau R)^k \exp\left(-\frac{\pi^2 \mu^2 k^2}{4 \ln 2}\right) \cos 2k\pi m_0 \exp(-\pi^2 k^2 c^2) \right\}, \quad (2)$$

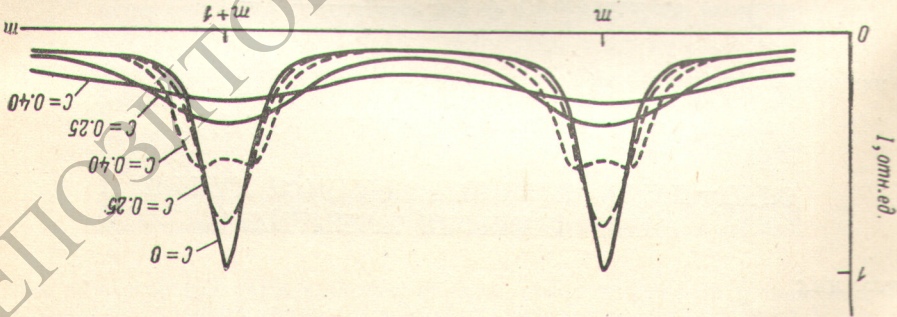
Приведем оценки влияния микронеоднородностей среды. Если средой является оптическое стекло [4], то размазывание контура распределения интенсивности может быть вызвано наличием кристаллитов [5]. Предположим, что изменение показателя преломления при переходе от центра кристаллита к его периферии равно  $\Delta n$ , средний размер неоднородностей  $\Delta x$  и суммарный объем центральных частей микронеоднородностей равен объему его периферийных частей. Тогда  $c_m$  будет выражаться как  $2\Delta n \Delta x \sqrt{N/\lambda}$ , где  $N \approx h/2\Delta x$  — среднее число микронеоднородностей. Отсюда  $c_m \approx \sqrt{2} \Delta n \sqrt{\Delta x h/\lambda}$ . При реальных значениях  $\Delta x = 10$  нм,  $\Delta n = 10^{-4}$ ,  $\lambda = 0.6$  мкм получаем  $c = \sqrt{2} c_m = 3 \cdot 10^{-3}$ . На рис. 2 приведены результаты расчетов по формуле (2) для различных значений  $c$ . При расчете принималось  $n=0$  (монокроматическое излучение) и  $\tau R = 0.83$  (алюминий). Из рис. 2 следует, что при значениях  $c$  порядка  $10^{-2} \div 10^{-4}$ ,

Рис. 2. Распределение интенсивности при  $\tau R = 0.83$ ,  $n = 0$ .  
 1 —  $c = 0$ , 2 —  $c = 0.0005$ , 3 —  $c = 0.001$ , 4 —  $c = 0.01$ , 5 —  $c = 0.05$ ; 6 —  $c = 0.1$ , 7 —  $c = 0.5$ .



к расширению аппаратной функции и уменьшению пропускания в максимумах интерференции, при этом положение максимумов остается несмещенным. Однако расширение, полученные нами (рис. 1), характеризуются значительно большим расширением интерференционных полос и уменьшением пропускания в максимуме. По нашему мнению, указанные в [3] результаты ошибочны, что вызвано некорректной записью исходного интервала (4) в этой работе.

Рис. 1. Распределение интенсивности I в интерферометре Фабри—Перо при  $\tau R = 0.83$ ,  $n = 0.1$ .  
 Сплошные линии соответствуют формуле (2), штриховые линии соответствуют данным работы [3].



Выражения (2) и (2') существенно отличаются от выражения (5) работы [3], полученного для этого же случая. Из рис. 1 видно, что изменение I, рассчитанное по формуле (2), качественно совпадает с данными [3]. Действие случайных дефектов сводится

$$(2') \quad I = I_0 \left[ 1 + 2 \sum_{k=1}^{\infty} (\tau R)^k \exp\left(-\frac{1}{2} \ln 2\right) \cos 2\pi k m_0 \times \right. \\
 \left. \times \left[ 1 + \sum_{s=1}^{\infty} (-1)^s \frac{S^s}{s} (\pi k c)^{2s} \right] \right]$$

характерных для микронеоднородного строения стекла, распределение интенсивности практически не отличается от описываемого функцией Эйри. В принципе возможны увеличенные значения  $s$ , связанные с микронеоднородностями, обусловленными несовершенством технологии изготовления стекла. При этом размазывание интерференционной «полосы» становится заметным.

Полученные в работе результаты можно использовать для оценок эффекта расширения контура аппаратной функции в реальных устройствах для прецизионных измерений длин волн, длины, показателя преломления.

### Литература

- [1] К. Krebs, A. Sauer. Ann. Phys., 13, 359, 1953.
- [2] И. С. Градштейн, И. М. Рыжик. Таблицы интегралов, сумм, рядов и произведений. «Наука», М., 1971.
- [3] R. M. Hill. Opt. Acta, 10, 141, 1963.
- [4] А. Л. Брикс, Е. А. Волкова. ПТЭ, № 3, 191, 1976.
- [5] Л. И. Демкина. Физико-химические основы производства оптического стекла. «Химия», Л., 1976.

Поступило в Редакцию 17 марта 1976 г.  
В окончательной редакции 15 декабря 1977 г.

УДК 621.391.63

## ПРИБЛИЖЕННОЕ ВЫЧИСЛЕНИЕ КОЭФФИЦИЕНТА ПРОПУСКАНИЯ ВОЛОКОННЫХ СВЕТОВОДОВ

Б. М. Лавринович

Основные световые потери в единичном волоконном световоде обусловлены поглощением света материалом волокна и многочисленными отражениями света от границы раздела сердцевина—оболочка волокна. Световые потери из-за отражения конических пучков света с апертурными углами  $u_A \leq 30^\circ$  от торцов волокна с показателем преломления  $n=1.6-1.8$  невелики; коэффициент отражения  $\rho_A$  конуса лучей с углом  $u_A < 30^\circ$  не превышает величины 0.06—0.08, а соответствующий коэффициент пропускания — величины 0.846—0.884 [1].

Коэффициент пропускания  $\tau_A$  конических лучей с апертурным углом  $u_A$  единичного волокна диаметром  $d$ , длиной  $l$ , натуральным показателем поглощения материала волокна  $\epsilon'$  и коэффициентом единичного полного внутреннего отражения  $\rho$  в соответствии с [1] равен

$$\tau_A = \frac{2n^2(1-\rho_A)^2 e^{-\epsilon' l}}{\sin^2 u_A} \int_0^{u_A} e^{-\frac{2.72}{d} l \rho \sin u} \sin u \, d(\sin u) \quad (1)$$

где угол наклона  $u_c$  в волокне связан с углом наклона луча  $u$  на входе в волокно зависимостью  $n \sin u_c = \sin u$ . Коэффициент пропускания  $\tau_A$  может быть вычислен с помощью ЭВМ, либо приближенным способом, например по формуле Спенсера [2], что, однако, весьма трудно.

Для большинства волоконных световодов коэффициент  $\tau_A$  можно определить с известной погрешностью по простой формуле, получаемой из выражения (1). Действительно, при  $u_A \leq 30^\circ$ ,  $n=1.6-1.8$  углы  $u_c \leq 16-18^\circ$  и с погрешностью, не превышающей 5%, можно положить  $\operatorname{tg} u_c \approx \sin u_c$ ,  $\sec u_c \approx 1$ . При этом

$$\begin{aligned} \tau_A &\approx \frac{2n^2(1-\rho_A)^2 e^{-\epsilon' l}}{\sin^2 u_A} \int_0^{u_A} e^{-\frac{2.72}{d} l \rho \sin u} \sin u \, d(\sin u) = \\ &= \frac{0.27n^2 d^2 (1-\rho_A)^2 e^{-\epsilon' l}}{l^2 \sin^2 u_A \lg^2 \rho} \left[ 1 - \left( 1 - \frac{2.72l \sin u_A \lg \rho}{nd} \right) 10^{\frac{1.18l \sin u_A \lg \rho}{nd}} \right]. \quad (2) \end{aligned}$$

Так коэффициент пропускания  $\tau_A$  световодом длиной  $l=10$  м, диаметром  $d=100$  мкм,  $\rho=0.99990$  и  $\epsilon'=0.106$  конических пучков с  $u_A=30^\circ$ , определенный по формуле (2), равен 0.0448, в то время как расчет на ЭВМ по точной формуле (1) дает значение  $\tau_A=0.03753$  [1]. Исследование показывает, что приближенная формула ведет